

# 鹿児島大学 前期

## 物 理

### 注 意 事 項

1. 「解答始め」の合図があるまでこの冊子は開かないこと。
2. この冊子は 8 ページである。
3. 「解答始め」の合図があったら、まず、黒板に掲示又は板書してある問題冊子ページ数・解答用紙枚数・下書き用紙枚数が、自分に配付された数と合っているか確認し、もし数が合わない場合は手を高く挙げ申し出ること。次に、解答用紙をミシン目に沿って落ち着いて丁寧に別々に切り離し、学部名・受験番号・氏名を必ずすべての解答用紙の指定された箇所に記入してから、解答を始めること。
4. 解答は、必ず解答用紙の指定された箇所に横書きで記入すること。

30年度

# 問題訂正及び解答用紙訂正科目〔 物理 〕

## 問題訂正

2 頁 ① 図 2, 左図, 左上部分

(誤) 「d」及び「↑」

(正) 「d」及び「↑」を削除

5 頁 ③ 1 行目

(誤) 厚みを無視できる

(正) 厚みと質量を無視できる

## 解答用紙訂正

その 3, ③ (2)

(誤)  $\mu =$

(正)  $\mu$  の条件

1

次の文章を読み、下の問い合わせに答えよ。

光は( 1 )としての性質があるのでスリットを通るときに回折する。これを利用して光の波長を測定することができる。

図1のように等間隔  $d$  で平行に並んだ多数のスリット A, B, C, …でできた回折格子がある。いま、平行な波長  $\lambda$  の( 2 )を回折格子に対して垂直に入射させると、その光は回折する。このような回折光のうち、はじめに( 3 )して強め合う回折光(1次の回折光)は、入射光に対して角  $\theta$  の方向で観測された。

次に、波長がわずかに異なる波長  $\lambda'$  の( 2 )を入射させた。1次の回折光を同じ角  $\theta$  の方向で観測するためには、図2のように、回折格子をO点を通る紙面に垂直な軸の周りに角  $\phi$  ( $<\theta$ )だけ回転させなければならなかった。このときの  $\lambda'$  と  $\phi$  の関係を求めてみよう。回折格子上のA点およびB点に入射光が到達したときの道のりの差  $AP =$ ( ア )であり、これらがスリットで回折するとさらに道のりの差  $AQ =$ ( イ )が生じる。角  $\phi$  が微小であるとして、 $\sin \phi \approx \phi$  および  $\cos \phi \approx 1$  の近似式を用いると全体の道のりの差は( ウ )となる。したがって、 $\lambda'$ ,  $d$ ,  $\theta$  および  $\phi$  の間には( エ )の関係式が成り立つ。

いま、1.0 mm当たり100本のスリットが等間隔に並んだ回折格子に、ある波長の( 2 )を垂直に入射させると、1次の回折光は入射光に対して  $\pi/6$  rad の方向で観測された。次に、波長が  $\Delta\lambda$ だけ異なる光を入射して、回折格子を  $0.10$  radだけ回転すると、1次の回折光が同じ方向で観測された。このことから  $\Delta\lambda$  を求めると( オ ) mとなる。

(1) 文章中の( 1 )～( 3 )に当てはまる最も適切な語句を下記の選択肢から選び、解答欄に記入しなさい。

#### 【選択肢】

散乱、偏光、入射、干渉、うなり、共鳴、反射、透過、屈折、拡散、分散、波、音、熱、自然光、白色光、単色光

(2) 文章中の(ア)~(エ)に入る適切な式を求めなさい。ただし、(ウ)については、導出過程も記述すること。

(3) 文章中の(オ)に入る適切な数値を求めなさい。ただし、導出過程も記述すること。

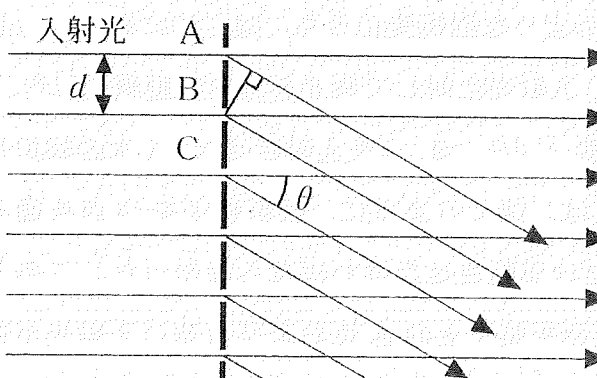


図1

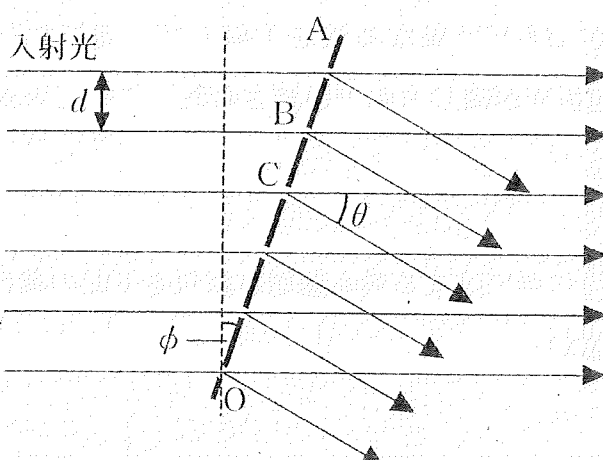
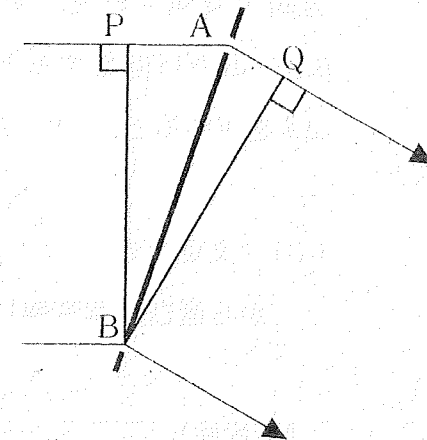


図2



スリットA, B付近の拡大図

**2** 図3に示すように、質量  $m$ 、断面積  $A$  で厚みの無視できるピストンがついたシリンダーの中に、単原子分子の理想気体が封入されている。シリンダーには、ピストンの動きを停止させるストッパー K, R がついており、ピストンはこれらの間をなめらかに動くことができる。シリンダーの底部 B からストッパー K までの高さと、ストッパー K から R までの高さは、いずれも  $h$  である。状態1では、封入された気体の温度は周囲の温度  $T_0$  に等しく、ピストンからストッパー K に力  $F$  が鉛直下向きに作用している。周囲の圧力は  $p_0$  である。いま、以下に示す説明のとおり気体の状態を  $1 \rightarrow 2 \rightarrow 3$  と変化させた。このとき、封入された気体に関する（1）から（4）の問い合わせに答えよ。ただし、重力加速度を  $g$  とし、答えの導出過程も示せ。

過程  $1 \rightarrow 2$ ：ピストンからストッパー K に作用する力が  $F = 0$  になる瞬間まで、封入された気体を加熱した。この間、ピストンは動いていない。

過程  $2 \rightarrow 3$ ：封入された気体をさらに加熱した。ピストンは動き出し、ストッパー R に接触したときに加熱を止めた。

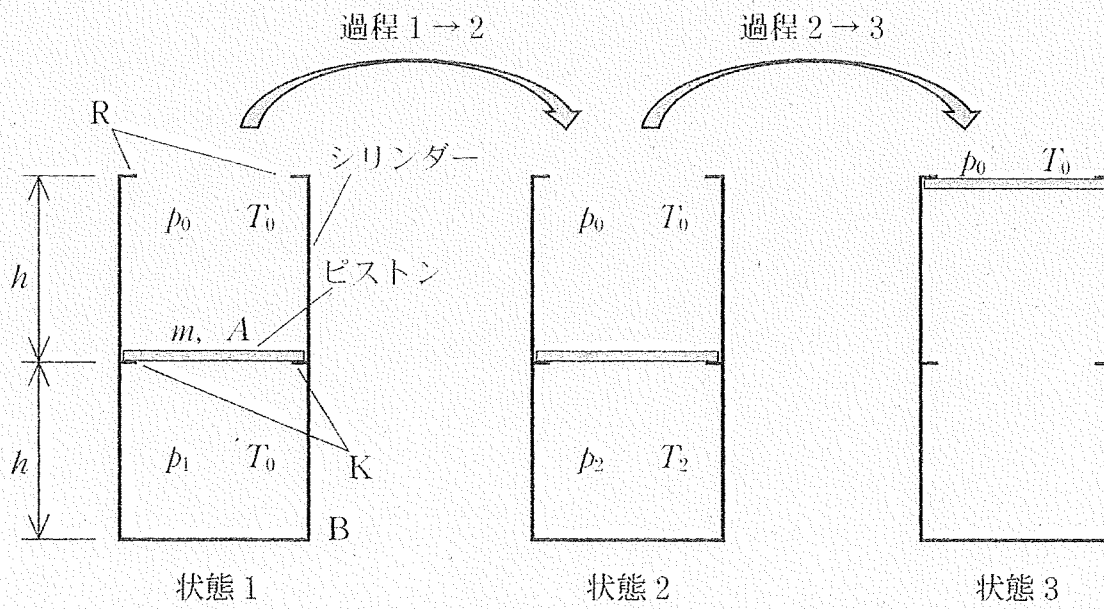


図3

- (1) 状態 1, 状態 2 での圧力  $p_1$ ,  $p_2$  を求めよ。答えは,  $m$ ,  $A$ ,  $F$ ,  $p_0$ ,  $g$  の中から必要な記号を用いて示せ。

- 以下の問い合わせの答えは,  $p_1$ ,  $p_2$ ,  $A$ ,  $h$ ,  $T_0$  の中から必要な記号を用いて示せ。
- (2) 状態 2 での温度  $T_2$  を求めよ。
- (3) 過程  $1 \rightarrow 2$  で気体が吸収した熱量  $Q_{12}$  を求めよ。
- (4) 過程  $2 \rightarrow 3$  における内部エネルギーの変化量  $\Delta U_{23}$  と, 気体がなした仕事  $W_{23}$  を求めよ。

3

図4のように、固定した接点A, Bの二点で支えられた水平かつ丈夫で厚みを無視できる物体Xの中央に、底辺 $b$ 、高さ $h$ 、質量 $m$ の一様な物体Yが乗っている。重力加速度を $g$ とする。なお各物体の奥行きは考慮しなくて良い。

- (1) 図4には、物体Xが接点A, Bの二点から受けている力が、それぞれ $F_{1a}$ ,  $F_{1b}$ として示されている。これらの力の大きさを求めなさい。

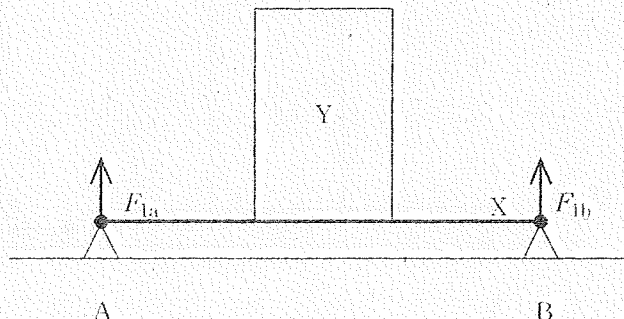


図4

- (2) 図5のように、接点Aを取り外し、物体Xを一定の力で鉛直方向に静かに持ち上げたところ、物体Xは接点Bを軸として回転し、水平面に対する角度が $\theta$ のときに物体Yは転倒せずに滑り始めた。このときの物体Xと物体Yとの間の静止摩擦係数 $\mu$ の条件を示しなさい。なお解答用紙には、導出過程も記述すること。

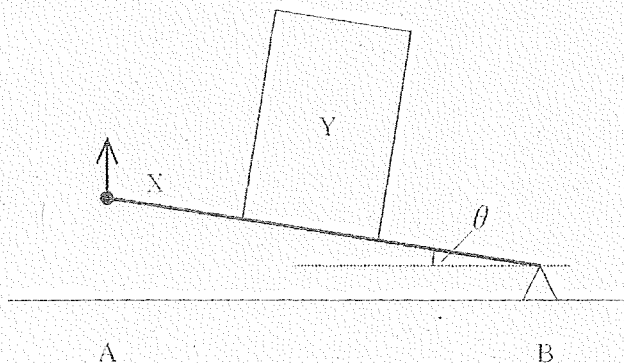


図5

(3) 物体 X を厚みのある質量  $M$  の一様な物体 Z に取り替えたのち、図 6 のように物体 Z の側面中央部を  $F_2$  の力で水平方向に引いたところ、物体 Y は倒れずに物体 Z と一体となって動いた。このときの加速度の大きさ  $a$  と、物体 Y と物体 Z の間に働く摩擦力  $f$  を求めなさい。なお物体 Z が置かれた面はなめらかであるとする。また物体 Z の奥行きは考慮しなくて良い。

なお解答用紙には導出過程も記述すること。

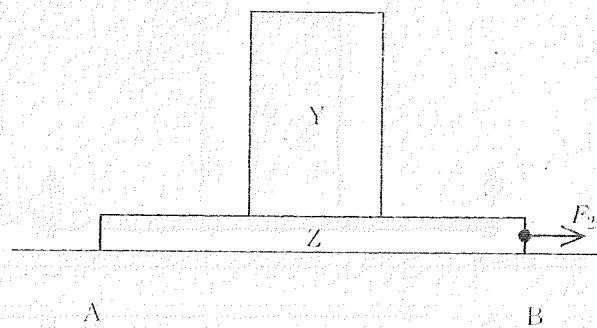


図 6

**4** 真空中に、長さ  $l[\text{m}]$ 、単位長さあたりの巻数  $n$ 、半径  $r[\text{m}]$  のコイルがあり、図 7 にその断面図を示す。真空の透磁率を  $\mu_0[\text{N/A}^2]$  とする。以下の問いに答えよ。

(1) 図 7 に示す方向(◎は、紙面垂直に上向き、⊗は、紙面垂直に下向きを表す)に電流  $I[\text{A}]$  を流すとする。コイルの内外に生じる磁力線の概形を描け。

(2) 図 7 のように、コイル内部の中心線上にある点 P と、コイルの両端 A および B の成す角度が、それぞれ  $\theta_1$  および  $\theta_2$  で表されるとき、点 P での磁場の強さ  $H[\text{A/m}]$  は、

$$H = \frac{nI}{2} (\cos \theta_1 - \cos \theta_2)$$

とかける。コイルの長さ  $l$  を変化させたとき、コイルを貫く磁束  $\phi$  がとりうる最大値を単位とともにかけ。また、そのときの  $\theta_1$  および  $\theta_2$  をかけ。ただし、 $I$ 、 $r$ 、および  $n$  は一定とする。

(3) 以下の文章の空欄 a ~ e を埋めよ。

コイルに流す電流を変化させると、コイル内の磁束が変化する。このとき、[a] の法則によって、磁束の変化を打ち消す方向に、コイルに[b] が生じる。これを[c] といい、その大きさは[d] の変化に比例する。この比例係数は[e] の大きさを表し、[e] という。

(4) 図 7 のコイル(コイル A とする)と抵抗  $R_1$  および  $R_2$  を直列に接続した回路(図 8)で、時刻  $t_1$  および  $t_2$  でスイッチ S を操作したところ、図 9 のように回路に流れる電流が変化した。

次に、コイル A より短く、半径および単位長さあたりの巻数が同じコイル B でコイル A を差し替え、 $t_1$ 、 $t_2$  で同様のスイッチ操作をしたところ、コイル A の場合と違う電流の変化が測定された。コイル B の場合における電流の変化の概形を図示せよ。

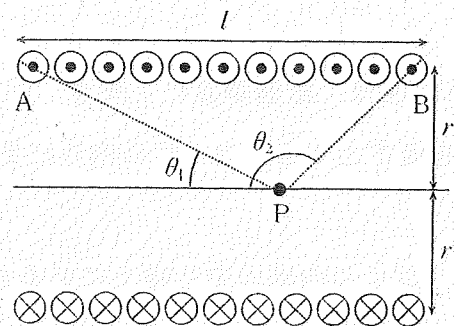


図 7

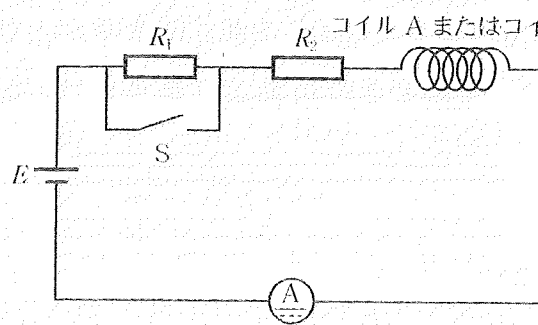


図 8

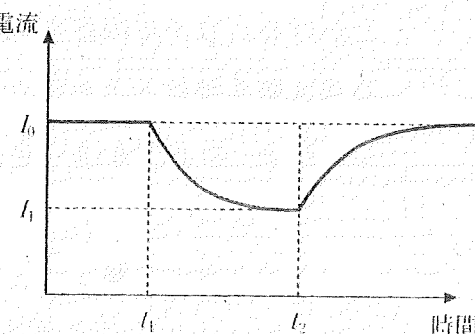


図 9